АКАДЕМИЯ НАУК АРМЯНСКОЙ ССР АСТРОФИЗИКА

TOM 16

АВГУСТ, 1980

выпуск з

УДК 523.855

ПЕКУЛЯРНЫЕ И ВЗАИМОДЕЙСТВУЮЩИЕ ГАЛАКТИКИ ЮЖНОГО НЕБА С ЭМИССИОННЫМИ СПЕКТРАМИ

Т. М. БОРЧХАДЗЕ, Р. М. ВЕСТ Поступила 23 февраля 1980

Приводится список впервые выявленных галактик южного неба, показывающих в спектре сильные эмиссионные линии. Статья является продолжением работ по спектральному обзору южных, отбираемых по морфологическим пекулярностям, галактик из списков ЕЮО-Уппсала. Из 14 галактик списка одна — ESO 215-G?14 является сейфертовской, второго типа. Описываются морфологические особенности изученных галактик. Дается глазомерная оценка интенсивности основных спектральных линий новых галактик.

Настоящая статья продолжает работу по спектральному обзору галактик южного неба [1—7] из списков Европейской Южной обсерватории (ЕЮО)-Уппсала [8—13]. Цель обзора — предварительное выявление эмиссионных галактик, которые в дальнейшем могут представить интерес для более детальных спектрофотометрических исследований.

1. Наблюдательный материал и измерения. Критериями отбора галактик из списков ЕЮО-Уппсала для включения в спектральный обзор, как и в предыдущих работах, служили морфологические пекулярности, выявляемые визуально по голубым пластинкам Атласа южного неба, полученным в ЕЮО (т. н. «ESO (B) Atlas»).

В настоящей статье представлены сравнительно яркие (до \sim 15.5 зв. величины по визуальным оценкам на В Атласе ЕЮО) взаимодействующие или же одиночные пекулярные галактики с уверенно выявляемыми вмиссионными линиями, как правило, с [О III] $\lambda\lambda$ 5007/4959 и H_{β} .

Спектральный материал был получен в январе 1978 г. с помощью 3.6-м телескопа обсерватории Ла Силла (ЕЮО), в кассегреновском фокусе которого установлен спектрограф Боллера и Чивенса с Карнеги ЭОП.

									-		Tab	лица
ESO, No.	С	a (1950	ه (0.0	<i>I</i> ¹¹	P ₁₁	RV	V _o	g	0	Dc	Ds	Рис.
355— G22 IC-1813		02 ^h 28 ^m 43	-34°26.5	237°	-68°	4470	4353	37	0°	25		1A
MCG-6-6-9								0				
360- G04		04 14 37	-35 51.4	237 ·	-46	4440	4249	40	128	20		1B
MCG-6-10-4							4			0		
364 — G35		06 08 06	-33 38.4	240	-23	8680	8433	33	90	70	104	2A
MCG-6-14-6		- 3			11							4
364— G36		06 08 11	—33 37.7	240	-23	8593	8346	29	90	32		2A
MCG-6-14-7												100
364— G37		06 08 21	-34 05.7	241	-23	760	512	20	180	11	_	1D
NGC 2188												
MCG-6-14-8			0.00						1.7.			1
208—IG24	a b c	07 33 33	-52 17.7	265	—15	12070 12010 11830	11786 11726 11546	30 13 14	177	25: 41:	66	1C
089 G05		07 50 06	-64 08.0	277	-18	17040	16762	- /	45	55		2B
060—IG03		08 16 48	-71 42.2	285	-19	1430	1163	22	90	2.3		2C
215—G?14		10 57 07	-51 10.4	286	+ 8	5610	5342	40	90	25		2D
215—IG20	a b	11 03 18	-50 24.2	286	+ 9	5130 5140	4864 4874	16 18	0	9: 9:	18	3C
215— G31		11 08 18	-48 49.9	286	+11	2690	2427	30	130	36		3A
215— G32		11 09 05	-47 44.8	286	+12	4290	4028	70	90	21		3D
215—IG33		11 09 36	-47 38.8	286	+12	4290	4028	24	65	18		3B
217— G09		11 47 39	-49 20.4	293	+12	3310	3061	13	90	16		3E

Примечение. Аученые стерости исправлены по сещепри имеекой формуле $\Delta V = V$ наба. + 300 sin l^{II} cos $b^{II}+$ 30 cos β sin $(\lambda_{\odot}-\lambda)$, где l^{II} , $b^{II}-$ галактические и λ , β — вклиптические координаты.

Дисперсия для всех галактик составляет 123 A/мм в интервале 3600—7000 A. Спектры не расширялись.

Обработка спектров осуществлена на координатно-измерительной машине «Ascorecord» Абастуманской астрофизической обсерватории с выводом результатов на перфоленту для ЭВМ «Наири-2».

2. Дискуссия. Результаты измерений представлены в табл. 1, где приводятся, по столбцам, следующие величины: 1 — номер по списку ЕЮО-Уппсала, а также другие обозначения, если таковые имеются для данной галактики (NGC, IC и МКГ [14]); 2 — обозначение компонентов систем согласно рис. 1—3; 3, 4 — экваториальные координаты для эпохи 1950.0; 5—галактические координаты; 6—наблюденная лучевая скорость (RV); 7—исправленная лучевая скорость (V_0); 8—средняя квадратическая ошибка измерения σ , определенная по нескольким линиям; 9 — позиционный угол ориентации щели спектрографа θ ; 10 — максимальный видимый диаметр компонента Dc в кпс; 11 — максимальный видимый диаметр всей системы Ds в кпс; 12 — ссылка на рис. 1—3.

Таблица 2

											Tuomaga E
ESO, №	6731 6717 [SII]	6582 [NII]	6563 H ₂	5007 [O]	4959 [[]	4861 H ₃	4363 [OIII]	4340 H ₇	4101 Hã	3727 [OII]	Примечание
355— G22	_	_		_	_	-	_	_	-	5	Перевкси.
360- G04	<u> </u>			2		2	l —	-		2	
364— G35	-				_	-		-	-	2	Переэксп.
364 — G36	1	2	4	2	1	3	_	1		3	
364— G37	_	1	6	6	4	5	_	3	1	5	
208-IG24	_	_	4	5	3	3	_	1		3	
089— G05	_			-	_	1	_	_		2	
060—IG03		_	4	4	2	3	_		_	4	
215—G?14	_	2	5	6	4	4	2	2	1	3	
215-IG20	1	1	6	6	4	5	_	3	2	6	
215— G31	1	2	4	_	-	3	_	1	-	3	
215 G32	_		-		_		_	_	_	2	Переэксп.
215—IG33	2	3	6	6	4	5	_	4	2	6	
217— G09	1	1	4	5	3	4	_	2	I	5	
								1			

В табл. 2 приводятся глазомерные относительные интенсивности основных спектральных линий по шкале от 6 (очень сильная линия) до 0, по отношению к континууму. Чувствительность спектрографа резко падает в синей ($<4000~{\rm A}$) и красной ($>6000~{\rm A}$) областях.

Изображения галактик представлены на рис. 1—3.

 Ниже приводится по возможности подробное морфологическое описание галактик, систем, а также их спектров.

IC 1813 (ESO 355-G22). На пластинках Атласа южного неба (рис. 1A) это типичная SO галактика. В передержанном непрерывном спектре особенно выделяется сильная [O II] λ 3727. Н₂ — в эмиссии, едва заметна. Уверенно выявляются линии H и K Call λ 3964 и λ 3933, а также G-полоса λ 4308.

ESO~360-G04. Пекулярная по форме (рис. 1B) «пятнистая» галактика с аморфной центральной областью. В спектре выделяются эмиссии [N II] λ 6582, [O III] λ 5007, [O II], H_2 и H_3 . Эмиссии в спектре прослеживаются от центральной области до северо-западного края галактики на протяжении около 10", что, исходя из V_0 галактики, при H=55 км/с·Мпс, согласно [15], составляет до 4-х кпс.

ESO~364—G35/36. Двойная система (рис. 2A) с заметными следами взаимодействия. Юго-западная галактика (G 35) — спиральная, типа SB, в спектре которой выделяются линии H и K, G-полоса, а также слабая эмиссия λ 3727. Вторая галактика (G 36) имеет пекулярную структуру. В ее спектре присутствуют эмиссии [N II] $\lambda\lambda$ 6582/6549, [O III], [O II], H_{α} — H_{γ} , [Fe III] λ 4659, а также H и K в центральной области.

Видимое расстояние между G 35 и G 36 составляет около 55 кпс, исходя из их лучевой скорости.

 $NGC\ 2188\ (ESO\ 364-G\ 37)$. Галактика пекулярной формы (рис. 1D), которая по оригинальным негативам Атласа южного неба может быть интерпретирована как плоская система, видимая с ребра. Вдоль видимой большой оси галактики выделяются 5 ярких конденсаций, показавших эмиссионные линии с одинаковым красным смещением. Линии поглощения не выявляются. В спектре резко выделяются эмиссии [O III], [O II], $H_{\rm a}$ до $H_{\rm b}$. По интенсивности κ 5007 значительно превосходит $H_{\rm b}$. Лучевая скорость галактики (табл. 1) получена как средняя по пяти эмиссионным зонам, областям H II, зарегистрированным щелью спектрографа. Возможно, что некоторое расхождение с $V_0=448\ {\rm km/c}$, приводимой в [16], частично обусловлено тем, что V_0 в настоящей работе и в [16] определялась по различным эмиссионным областям.

ESO~208-1G24. Это система взаимодействующих галактик (рис. 1C) с нарушениями структуры вследствие приливных сил. Северная галактика (с на рис. 1C) спиральная, с эмиссиями H_a , H_3 и λ 3727. В спектре южной галактики (а на рис. 1C) присутствуют эмиссии [O III] λ 5007/4959, [O III] λ 4363, [O II], H_a , H_β , [Ne III] λ 3869 и наряду с

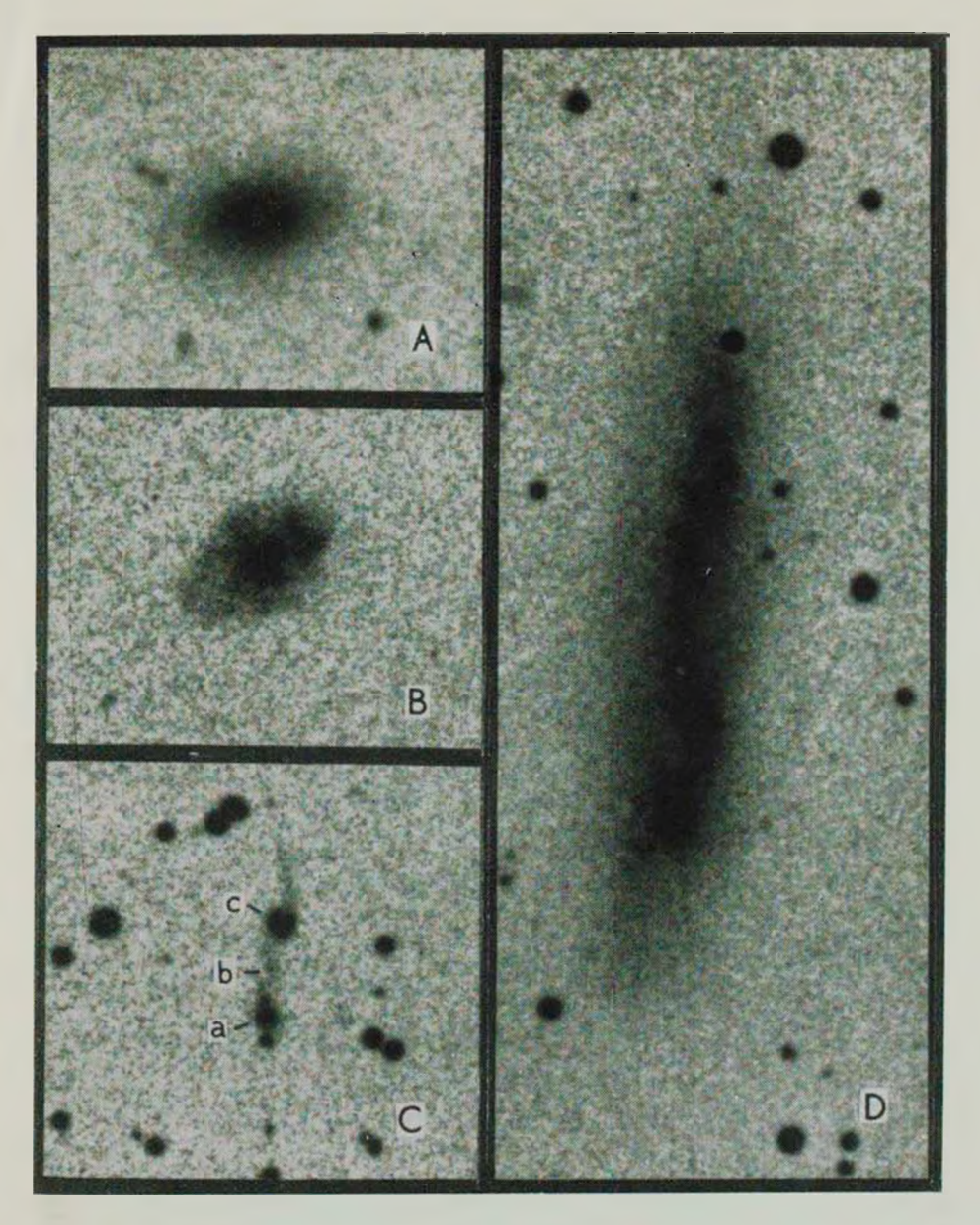
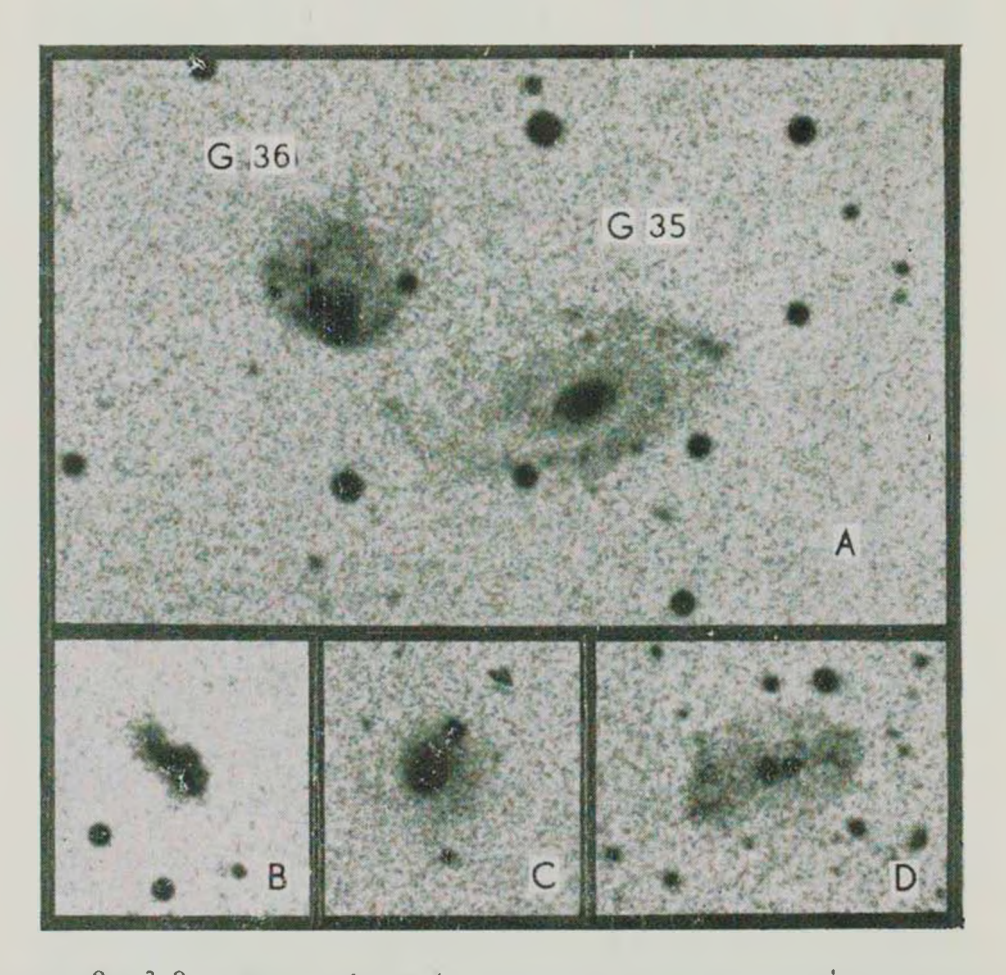


Рис. 1. Репродукции изображений вмиссионных галактик с пластинок 1-м шмидтовыского телескопа ЕЮО в Ла Силла. Север — сверху, восток — слева. Масштаб иг всех фото — 2" на мм.

Обозначения: (A) IC 1813 [355—G22]; (B) 360—G04; (C) 208—IG24: (D) NGC 2188 [364—G37].



Гис. 2. Репродукции изображений эмиссиозных галактик с пластинок 1-м шмидтоп скего телескопа ЕЮО в Ла Силла. Ориентация и масштаб как на рис. 1. Обозначения: (А) 364—G35/G36; (В) 089—G05; (С) 060—IG03; (D) 215—G214

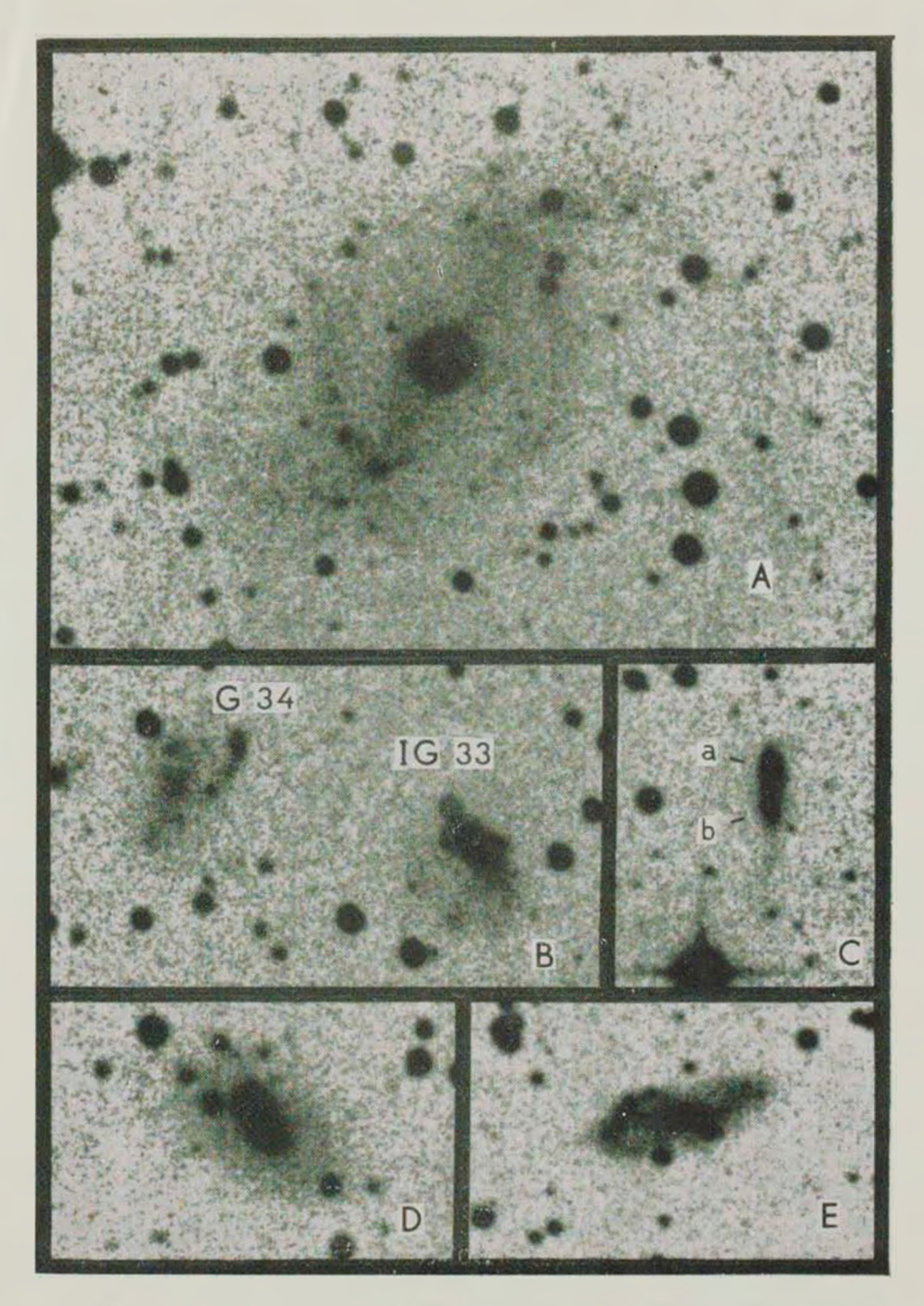


Рис. 3. Репродукции изображений эмиссионных галактик с пластинок 1-м шмидтов ского телескопа ЕЮО в Ла Силла. Ориентация и масштаб как на рис. 1. Обозначения: (A) 215—G31; (B) 215—IG33; (C) 215—IG20; (D) 215—G32; (E) 217—G09.

ними H и K, а также Ca l g. Интенсивность λ 5007 превосходит H_3 . Расстояние между взаимодействующими галактиками а и c, исходя из лучевой скорости, составляет 29 кпс. В спектре эмиссионной детали b, отмеченной на рис. 1C, присутствуют [O III] λ 5007, H_2 , H_3 и λ 3727.

ESO~089-G05. Здесь мы имеем случай проектирования звезды позднего класса на далекую гигантскую галактику (рис. 2B). В спектре последней возможно было выделить лишь линии [O II] и H_3 в эмиссии.

ESO~060-IG03. Спектр этой пекулярной галактики (рис. 2C) эмиссионный. Хорошо выделяются умеренной интенсивности [O III], [O II], H_a и H_b . В поглощении наблюдается H_b .

ESO~215—G?/4. Аморфная галактика (рис. 2D) с ярким звездообразным ядром на фоне пекулярного диска или оболочки. Западнее ядра проектируется звезда. В спектре ядра галактики резко выделлются [N II] $\lambda\lambda$ 6582/6549, [O III] $\lambda\lambda$ 5007/4959, [O III] λ 4363, [O II], H_z — H_{τ} , [Ne III] λ 3869, He II λ 4686, что говорит о высоком возбуждении. Ширина H_z , H_z сравнима с [O III] $\lambda\lambda$ 5007/4959 и достигает порядка 700 км/с. Спектр интерпретируется как сейфертовский 2-го типа, согласно [17], однако следует отметить, что есть указание на то, что присугствует очень широкая, неглубокая водородная эмиссия, и возможно 215—G? 14 следовало бы интерпретировать как сейфертовскую 1-го типа, но имеющийся опектр недостаточно экспонирован для такого заключения.

ESO 215—IG20. Двойная взаимодействующая система в общей оболочке (рис. 3C). В спектре обеих галактик уверенно выделяются [О III], [О II], [N II], $H_a - H_t$. Кроме этого, в спектре северной галактики (а на рис. 3C) присутствуют также [S II], [Ne III] λ 3869, He I λ 3889 и слабые H и K. По визуальным оценкам отношение λ 6717/ λ 6731 \gg 1.

Галактики а и b должны, по-видимому, быть достаточно голубыми ввиду того, что их непрерывные спектры значительно простираются в ультрафиолетовую область и заметно интенсивны, при слабом красном конце.

ESO 215—G31. Спектр ядра этой SB галактики (рис. 3A) красный, позднего типа, абсорбционный. Заметны H и K. Симметрично по обе стороны от ядра, на расстоянии порядка 5", т. е. \sim 1 кпс, расположены две эмиссионные области в местах, где от центра «начинаются» перемычки. В эмиссии выделяются [S II], [N II], [O II], $H_{\alpha}-H_{\gamma}$.

ESO~215—G32. На яркую ядерную область этой галактики (рис. 3D), к северо-востоку, проектируется звезда. Галактика может быть описана

как SO. В передержанном спектре, полученном при $\theta = 90^\circ$, уверенно выделяются H и K CaII, G-полоса, а также λ 3727 умеренной интенсивности.

ESO~215-IG33. Пекулярная галактика (рис. 3B) «пятнистой» структуры. Щель спектрографа выделила три эмиссионные области в пределах передержанной центральной области. Все три спектра показывают сильные эмиссии [O III], [O II], $H_2 - H_4$, [N II]. Кроме этого в спектре присутствуют [S II], линия He I λ 5876, He I λ 3889, [Ne III] λ 3869 и b—полоса Mg I λ 5175. Спектр умеренного возбуждения He II λ 4686 отсутствует. Весьма слабая [O III] λ 4363 может быть заподозрена.

Возможно, что структура 215—IG33 разрушена вследствие приливного взаимодействия с галактикой 215—G34, расположенной на расстоянии 90'' от IG33 (32 кпс.). Хотя спектр 215—G34 получен не был, можно принять, что 215—IG33/G34 — двойная система, тем более, что на оригинальных негативах Атласа можно проследить между галактиками две параллельные перемычки слабой поверхностной яркости, заметные на пределе фотографического изображения. G34, подобно IG33, имеет «пятнистую» структуру.

ESO~217-G09. Исключительно пекулярная «пятнистая» галактика (рис. 3E) без выделяющегося ядра и с большим количеством эмиссионных конденсаций, по-видимому, Н II областей. Щель спектрографа при $6=90^\circ$ зафиксировала шесть из них. Особо выделяются по яркости четыре конденсации в восточном крае галактики. Все эмиссионные спектры показывают одинаковые лучевые скорости. Резко выделяются эмиссии [О III], [О II], H_z-H_o . Присутствует слабая эмиссия [N II] λ 6582. H_B заметно слабее [О III] λ 5007, последняя непрерывной линией регистрируется по всей видимой, охваченной щелью, поверхности галактики, т. е. $\sim 40''$ (~ 11 кпс).

Абастуманская астрофизическая обсерватория Европейская Южная обсерватория, Швейцария, Женева

SOUTHERN PECULIAR AND INTERACTING GALAXIES WITH EMISSION SPECTRA

T. M. BORCHKHADZE, R. M. WEST

Preliminary morphological and spectroscopic data are given for fourteen southern galaxies with emission lines. These objects were found during the ESO/Uppsala survey of the ESO (B) Atlas. The spectra

were obtained with the ESO 3.6 m telescope. One of the galaxies, ESO 215-G14, is classified as Seyfert type 2.

ЛИТЕРАТУРА

- 1. R. M. West, Astron. Astrophys., 53, 435, 1976.
- 2. R. M. West, Astron. Astrophys., Suppl. ser., 27, 73, 1977.
- 3. R. M. West, T. M. Borchkhadze, J. Breysacher, S. Laustsen, H.-E. Schuster, Astron. Astrophys., Suppl. ser., 31, 55, 1978.
- 4. T. M. Borchkhadze, J. Breysacher, S. Laustsen, H.-E. Schuster, R. M. West, Astron. Astrophys., Suppl. ser., 30, 35, 1977.
- 5. N. A. S. Bergwall, T. M. Borchkhadze, J. Breysacher, A. B. G. Ekman, A. Lauberts, S. Laustsen, A. B. Muller, H.-E. Schuster, J. Surdej, R. M. West, B. E. Westerlund, Astron. Astrophys., Suppl. ser., 33, 243, 1978.
- 6. T. M. Борчхадзе, Р. М. Вест, Астрофизика, 13, 605, 1977.
- 7. R. M. West, J. Surdej, H. E. Schuster, A. B. Muller, S. Laustsen, T. M. Borchkhadze, Astron. Astrophys., Suppl. ser., 1980 (in press).
- E. B. Holmberg, A. Lauberts, H.-E. Schuster, R. M. West, Astron. Astrophys., Suppl. ser., 18, 263, 1974.
- E. B. Holmberg, A. Lauberts, H.-E. Schuster, R. M. West, Astron. Astrophys., Suppl. ser., 18, 491, 1974.
- E. B. Holmberg, A. Lauberts, H.-E. Schuster, R. M. West, Astron. Astrophys., Suppl. ser., 22, 327, 1975.
- 11. E. B. Holmberg, A. Lauberts, H.-E. Schuster, R. M. West, Astron. Astrophys., Suppl. ser., 27, 295, 1977,
- 12. E. B. Holmberg, A. Lauberts, H.-E. Schuster, R. M. West, Astron. Astrophys., Suppl. ser., 31, 15, 1978.
- E. B. Holmberg, A. Lauberts, H.-E. Schuster, R. M. West, Astron. Astrophys., Suppl. ser., 34, 285, 1978.
- 14. Б. А. Воронуов-Вельяминов, В. П. Архипова, Морфологический каталог галактик, т. 5, М., 1974.
- 15. A. Sandage, G. A. Tamman, Ap. J., 196, 313, 1975.
- G. de Vaucouleurs, A. de Vaucouleurs, H. G. Corwin, Second Reference Catalogue of Bright Galaxies, Univ. Texas, Austin, 1976.
- 17. E. Ye. Khachikian, D. W. Weedman, Ap. J., 192, 581, 1974.